

## اعتبارسنجی استفاده از الگوریتم‌های زمین‌آماری تصادفی در مدل‌سازی رخساره الکتریکی در مخزن سروک یکی از میادین نفتی ایران

ولی مهدی پور<sup>۱</sup>، احمد رضا ربانی<sup>۲\*</sup>، علی کخدائی<sup>۳</sup>، هونمن کرکوتی<sup>۴</sup> و محسن شوراب<sup>۵</sup>

۱- دانشجوی دکترا مهندسی اکتشاف نفت، دانشکده مهندسی نفت، دانشگاه صنعتی امیرکبیر، تهران، ایران

۲- استاد گروه مهندسی اکتشاف نفت، دانشکده مهندسی نفت، دانشگاه صنعتی امیرکبیر، تهران، ایران

۳- دانشیار گروه زمین‌شناسی، دانشکده علوم، دانشگاه تبریز، تبریز، ایران

۴ و ۵- شرکت مهندسی و توسعه سروک آذر، تهران، ایران

نویسنده مسئول: rabbani@aut.ac.ir

دريافت: ۱۴۰۲/۳/۶ پذيرش: ۱۴۰۱/۸/۸

نوع مقاله: پژوهشی

### چکیده

ساخت انواع مدل‌های رخساره‌ای جهت اعمال تاثیر زمین‌شناسی و رسوب‌شناسی و کنترل توزیع خواص پتروفیزیکی در توزیع زمین‌آماری خواص مخزنی در مدل‌سازی استاتیک ضروری می‌باشد. در این مطالعه، به منظور استفاده از مدل رخساره‌ای در مدل‌سازی استاتیک، نخست رخساره الکتریکی با استفاده از روش خوش‌سازی چند تفکیکی بر پایه گراف MRGC تهیه گردید. رخساره‌های حاصل، با استفاده از الگوریتم‌های زمین‌آماری مختلف در نرم‌افزار پتل، به صورت سه‌بعدی مدل‌سازی و سپس نتایج حاصل از استفاده از روش‌های مختلف توزیع، مورد مقایسه قرار گرفتند. براساس آنالیز رخساره‌های الکتریکی، نخست پنج رخساره الکتریکی (مشتمل بر دو رخساره غیرمخزنی و سه رخساره مخزنی) تشخیص داده شدند. به منظور مقایسه تاثیر الگوریتم‌های مختلف توزیع رخساره‌ای، سه رخساره مخزنی باهم و دو رخساره غیرمخزنی با همدیگر تلفیق شده و به صورت دو رخساره کلی مخزنی و غیرمخزنی در مدل‌سازی رخساره‌ای توزیع گشتند. همچنین از داده‌های لرزه‌ای جهت ساخت نقشه‌های روندی برای توزیع بهتر رخساره‌ها و ساخت رخساره لرزه‌ای استفاده گردید. به منظور بررسی میزان تاثیر الگوریتم‌های مختلف به کار گرفته شده در مدل‌سازی رخساره‌ای بر روی توزیع تخلخل، پس از ساخت پنج نوع مدل رخساره‌ای با الگوریتم‌های مختلف، از آن‌ها در توزیع تخلخل استفاده گردید. براساس این مطالعه، در صورتی که داده‌های رخساره الکتریکی بدون استفاده از داده‌های لرزه‌ای توزیع شوند، عدم قطعیت بالایی داشته و ممکن است از دقت توزیع مدل‌های تخلخل وابسته کاسته شود. در این مطالعه مشخص شد که در مدل‌سازی رخساره‌ای با استفاده از روش شبیه‌سازی شاخص ترتیبی (SIS)، در نظر گرفتن نقشه‌های روندی تهیه شده براساس داده‌های لرزه‌ای باعث افزایش دقت آن می‌شود. همچنین ساخت رخساره لرزه‌ای و استفاده از آن در توزیع تخلخل به دلیل ارتباط بالای داده‌های مقاومت صوتی با تغییرات تخلخل، به عنوان بهترین روش رخساره‌ای جهت کنترل توزیع تخلخل پیشنهاد می‌گردد.

**وازگان کلیدی:** مخزن سروک، مدل استاتیک، رخساره لرزه‌ای، تخلخل، MRGC

هستند. بطور کلی، بر حسب مقیاس مطالعه، سنگ‌شناسی، نوع داده‌های موجود و سایر ویژگی‌های مورد توجه از دیدگاه صنعت نفت، انواع رخساره‌های رسوبی در زمین‌شناسی نفت و رسوب‌شناسی رایج شده است که برخی از آن‌ها شامل رخساره سنگ‌شناسی (لیتوفاسیس)، رخساره فسیل‌شناسی (بیوفاسیس)، رخساره میکروسکوپی (میکروفاسیس)، رخساره پتروفاسیس، رخساره نگاره‌ای الکتریکی (الکتروفاسیس یا رخساره الکتریکی)، رخساره لرزه‌ای می‌باشند. استفاده از این داده‌ها در مدل‌سازی

**۱- پیشگفتار**  
یک رخساره رسوبی به مجموعه‌ای از سنگ‌های رسوبی گفته می‌شود که دارای فرم هندسی (ژئومتری)، سنگ‌شناسی (لیتولوزی)، ساخته‌های رسوبی، طرح جریان دیرینه و سنگواره‌های معینی است که توسط همین مشخصه‌ها از سنگ‌های دیگر قابل تمایز است (سلی، ۱۹۹۴). ویژگی‌های مورد استفاده در تمایز رخساره‌ها مربوط به خواص فیزیکی، شیمیایی و زیستی سنگ‌ها در زمان تنشست رسوب و یا فرایندهای دیاژنزی بعدی

استاتیک اهمیت به سزاوی در مدل‌سازی مخزن و کنترل کیفیت مخزنی نقش به سزاوی دارد. مدل‌سازی رخسارهای در صورت اعتبار کافی می‌تواند در مدل‌سازی سه‌بعدی زمین‌شناسی مخازن جهت کنترل تغییرات توزیع پارامترهای مخزنی از قبیل تخلخل و تراوایی مورد استفاده قرار گیرد. با این حال، در صورت عدم وجود داده‌های لرزه‌ای مناسب ممکن است مدل‌سازی رخسارهای همچنان از عدم قطعیت بالا برخوردار باشد. الگوریتم‌های زمین‌آماری به عنوان ابزار قدرتمند برای مدل‌سازی ساختارهای ناهمگن زیرسطحی به کار می‌روند. با استفاده از دانش زمین‌آمار، امکان ارزیابی موارد عدم قطعیت، فرموله کردن و در نهایت مدل‌سازی آن‌ها فراهم می‌شود (پرج و دویچ، ۲۰۱۴). بطور کلی روش‌های زمین‌آماری توزیع رخساره‌ها قابل تقسیم به سه روش می‌باشند:

- ۱- روش‌های مبتنی بر واریوگرافی دو نقطه‌ای،
- ۲- روش‌های مبتنی بر شیء و ۳- روش‌های مبتنی بر تصویر آموزشی چند نقطه‌ای. هر کدام از این روش‌ها دارای محدودیت‌ها و مزایای خاص خودشان می‌باشند. به طور مثال روش‌های شیءگرای<sup>۴</sup> مستلزم استخراج ژئوپادی یا ساخت مدل‌های مفهومی و روش‌های چند نقطه‌ای مستلزم داشتن الگوهای تصویری می‌باشند.

تحلیل زمین‌آماری داده‌ها برای داده‌های رخسارهای مشتمل بر دو قسمت آمده‌سازی تابع توزیع اولیه به دو شکل آماری یا نسبت عمودی و بخش دوم واریوگرافی می‌باشد. واریوگرام، تغییرپذیری داده‌ها را با افزایش فاصله نشان می‌دهد که یک محور آن تغییرپذیری واریانس و محور دیگر فاصله می‌باشد. در توزیع خواص مخزنی در مخازن هیدرولکربنی واریوگرافی به صورت افقی (در دو جهت) و عمودی انجام می‌شود. در واریوگرافی افقی باید جهت‌های اصلی و فرعی ناهمسانگردی تعیین شود که برای این منظور باید نقشه‌های واریوگرام تهیه کرد. پس از تعیین جهت‌های اصلی و فرعی، واریوگرافی در این راستاها انجام شده و پارامترهای واریوگرام از جمله دامنه موثر تعیین می‌شود (کددایی و همکاران، ۲۰۱۹). مدل‌های رخسارهای حاصل جهت کنترل توزیع خواص پتروفیزیکی و تاثیر زمین‌شناسی در توزیع زمین‌آمار مورد استفاده قرار می‌گیرد.

مخزنی توسط پژوهشگران زیادی مورد بررسی قرار گرفته است (گوجه بیگلو، ۲۰۲۱؛ ایوانز انان، ۲۰۱۹). نگارهای پتروفیزیکی منبع اصلی اطلاعات زمین‌شناسی زیر سطحی هستند که اطلاعات با ارزشی از قبیل سنگ‌شناسی، بافت، ساختارهای رسوبی و همچنین خصوصیات مخزنی نظری تخلخل، اشباع آب و تراوایی را فراهم می‌کنند (سفیداری و همکاران، ۲۰۱۲). با استفاده از این نگارها می‌توان واحدهای رسوبی مختلف را با مقایسه خصوصیات نگار<sup>۱</sup> از همدیگر تفکیک نمود. رخساره نگار یا الکتریکی<sup>۲</sup> عبارت از مجموعه‌ای از پاسخ‌های نگار است که مشخص کننده یک لایه و یا به عبارت بهتر چینه بوده و باعث تشخیص آن از لایه‌های دیگر می‌گردد. از دیدگاه سرا و آبوت، رخساره الکتریکی مجموعه‌ای از پاسخ‌های نگار است که به طور منحصر به فردی یک واحد سنگی را مشخص می‌کند (سرا و آبوت، ۱۹۸۲). به عبارت دیگر، از دیدگاه آن‌ها، رخساره نگار یا رخساره الکتریکی عبارت از مجموعه پاسخ نگارهای پتروفیزیکی است که علاوه بر تعیین مشخصات چینه‌ها، اجزا تفکیک آن‌ها از یکدیگر را می‌دهند.

روش‌ها و الگوریتم‌های متعددی نظری<sup>۳</sup> AHC<sup>۴</sup>، MRGC<sup>۵</sup> و SOM<sup>۶</sup> برای ساخت رخساره‌های الکتریکی وجود دارد که معمولاً با نظر کاربر و با استفاده از شکل نگارها یا ابر داده‌های اولیه و استفاده از الگوریتم‌های مختلف قابل حصول است (مهری‌پور و هاشمیان، ۱۳۹۳). در این مطالعه پس از آزمودن روش‌های مختلف، در نهایت روش خوش‌سازی چند تفکیکی بر پایه گراف MRGC برای تعیین تعداد رخساره‌های الکتریکی بهینه انتخاب گردید. بطور کلی، خوش‌سازی براساس MRGC یک روش آماری غیر پارامتریک است و برخلاف سایر روش‌ها، مشکل وابستگی به بعد را از بین می‌برد. در این روش داده‌های ورودی اعم از چندین نگار پتروفیزیکی پس از کنترل کیفی جهت خوش‌بندی استفاده می‌گردد. در این روش سعی می‌گردد اعضای یک گروه بیشترین شباهت را با سایر اعضای گروه و حداقل تفاوت را با اعضای گروه‌های دیگر داشته باشد. ساخت رخساره‌های الکتریکی در مطالعه جامع یک مخزن اهمیت زیادی دارد (حسینی و همکاران، ۱۳۹۹). از این رو مدل‌سازی رخساره‌ای به خصوص رخساره‌های الکتریکی به عنوان بخش از مدل‌سازی

<sup>۴</sup> Ascendant hierarchical clustering

<sup>۵</sup> Self-organizing map

<sup>۶</sup> Object based

<sup>۱</sup> Log

<sup>۲</sup> Electrofacies

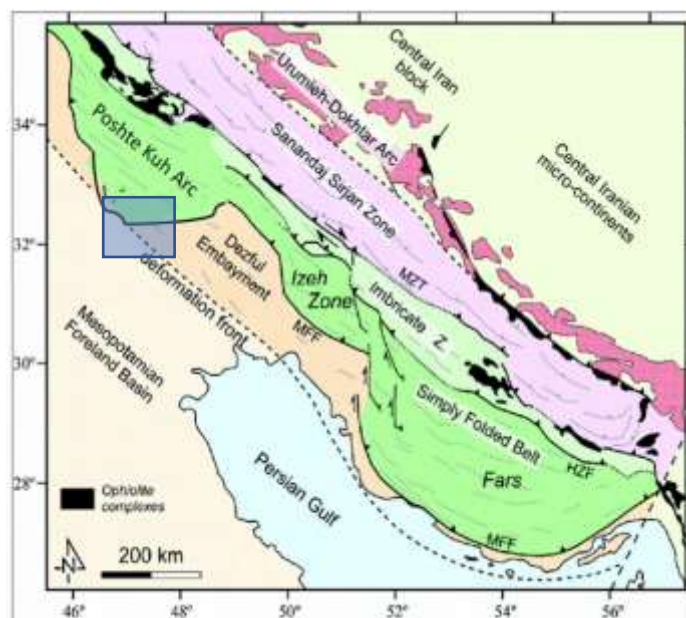
<sup>۳</sup> Multi resolution graph-based clustering

مقاطع لرزاگی داشته باشند. داده‌های لرزاگی معمولاً دارای دقت پایین در راستای قائم هستند، اما می‌توانند به عنوان داده ثانویه نقش بهسازی در توزیع فضایی خصوصیات مخزنی داشته باشند. بطور کلی داده‌های لرزاگی باید همراه با نگاره‌ای پتروفیزیکی مورد استفاده قرار گیرند. ساخت رخساره‌های معمولاً با دو روش تحلیل رخساره‌های لرزاگی به روش با نظارت<sup>۱۱</sup> یا بدون نظارت<sup>۱۲</sup> انجام می‌گیرد.

### ۱- موقعیت میدان مورد مطالعه

میدان مورد مطالعه در بخش شمالی فروبار دزفول قرار دارد. در این میدان سازند سروک مخزن اصلی محسوب می‌شود. در شکل ۱ محدوده تقریبی میدان مورد مطالعه نشان داده شده است.

در این مطالعه، پس از تعیین رخساره‌های الکتریکی تلاش گردید نقش الگوریتم‌های مختلف در توزیع رخساره‌ها مورد بررسی قرار گیرد. به منظور کاهش عدم قطعیت در توزیع رخساره‌ها از نقشه‌های روندی ساخته شده براساس داده‌های لرزاگی در ساخت مدل‌های رخساره‌ای استفاده گردید. همچنین رخساره لرزاگی با استفاده از شبکه عصبی ساخته شد. رخساره‌های لرزاگی<sup>۷</sup> عبارت از واحد چینه‌شناسی با الگوی بازتابش مشخص است که از واحدهای دیگر بر اساس دامنه بازتاب، پیوستگی، هندسه و یا شکل درونی بازتابنده‌ها قابل تفکیک باشد. بطور کلی، رخساره لرزاگی به مجموعه رسوبات و سنگ‌های رسوبی اطلاق می‌گردد که دارای خصوصیات همara<sup>۸</sup> و پیوستگی<sup>۹</sup> دامنه، بسامد<sup>۱۰</sup> و سرعت یکسان بوده و نیز الگوی آن‌ها بر روی مقاطع لرزاگی یکسان بوده و الگوی مشابهی بر روی



شکل ۱. محدوده تقریبی میدان مورد مطالعه در فروبار دزفول شمالی (کسینی و همکاران، ۲۰۱۱)

Fig. 1. The location of the field in Dezful Embayment (after Casini et al., 2011)

(افشارحرب، ۱۳۸۲). برش الگوی سازند سروک، در تنگ سروک و در دامنه جنوب غربی کوه بنگستان واقع شده است. سازند سروک شامل دو رخساره نریتیک در فارس و خوزستان و رخساره پلاژیک در لرستان است که این دو رخساره با هم ارتباط بین انگشتی دارند. برش الگوی سازند سروک در یال جنوبی کوه بنگستان، در شمال غربی شهرستان بهبهان و شمال شرقی میادین نفتی پارسی و

### ۲- چینه‌شناسی سازند سروک

سازند سروک، یکی از واحدهای سنگ‌چینه‌ای کربناته ضخیم از گروه بنگستان با سن آلبین-تورونین در حوضه زاگرس است که در جنوب غربی ایران گسترش دارد و به طور عمده از کربنات و مقدار کمتری شیل و مارن تشکیل شده است (شکل ۲). سازند سروک پس از سنگ‌آهک آسماری، مهم‌ترین سنگ مخزن حوضه زاگرس است

<sup>10</sup> Frequency

<sup>11</sup> Supervised

<sup>12</sup> Unsupervised

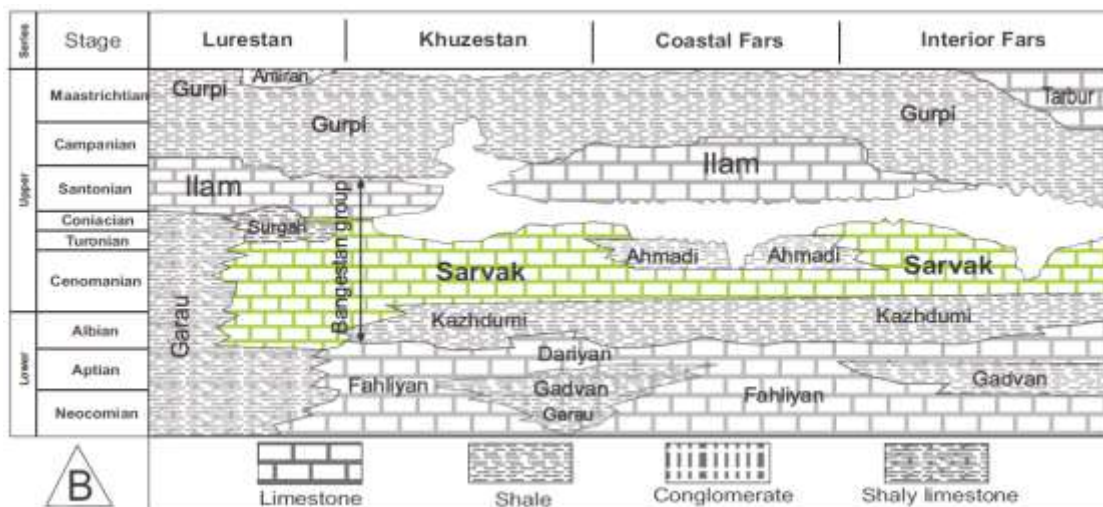
<sup>7</sup> Seismic facies

<sup>8</sup> Configuration

<sup>9</sup> Continuity

بخش بالایی از آهک‌های خیلی ضخیم تا ضخیم لایه با هوازدگی نامنظم آغشته به اکسیدهای آهن و برشی شده تشکیل شده است (مطیعی، ۱۳۷۲). مرز پایینی سروک با شیل‌های کژدمی به صورت تدریجی و مرز بالایی آن با سازند ایلام فرسایشی و آغشته به ترکیبات آهن است (آقانباتی، ۱۳۸۳).

کرنچ معرفی شده است (آقانباتی، ۱۳۸۳). سازند سروک در قاعده، شامل آهک‌های خاکستری تیره با لایه‌بندی ریزدانه رسی و حاوی آمونیت فراوان و همراه با لایه‌های نازک از مارن‌های خاکستری تیره به صورت بین لایه‌های است. بخش میانی آن شامل آهک‌های توده‌ای خشن به رنگ قهوه‌ای روشن همراه با قطعاتی از رودیست می‌باشد.



شکل ۲. چینه‌شناسی توالی کرتاسه در ناحیه زاگرس و مناطق مجاور (شارلند و همکاران، ۲۰۰۱)

Fig. 2. Generalized chronostratigraphy of the Cretaceous successions in the Zagros region and nearby regions (after Sharland et al., 2001)

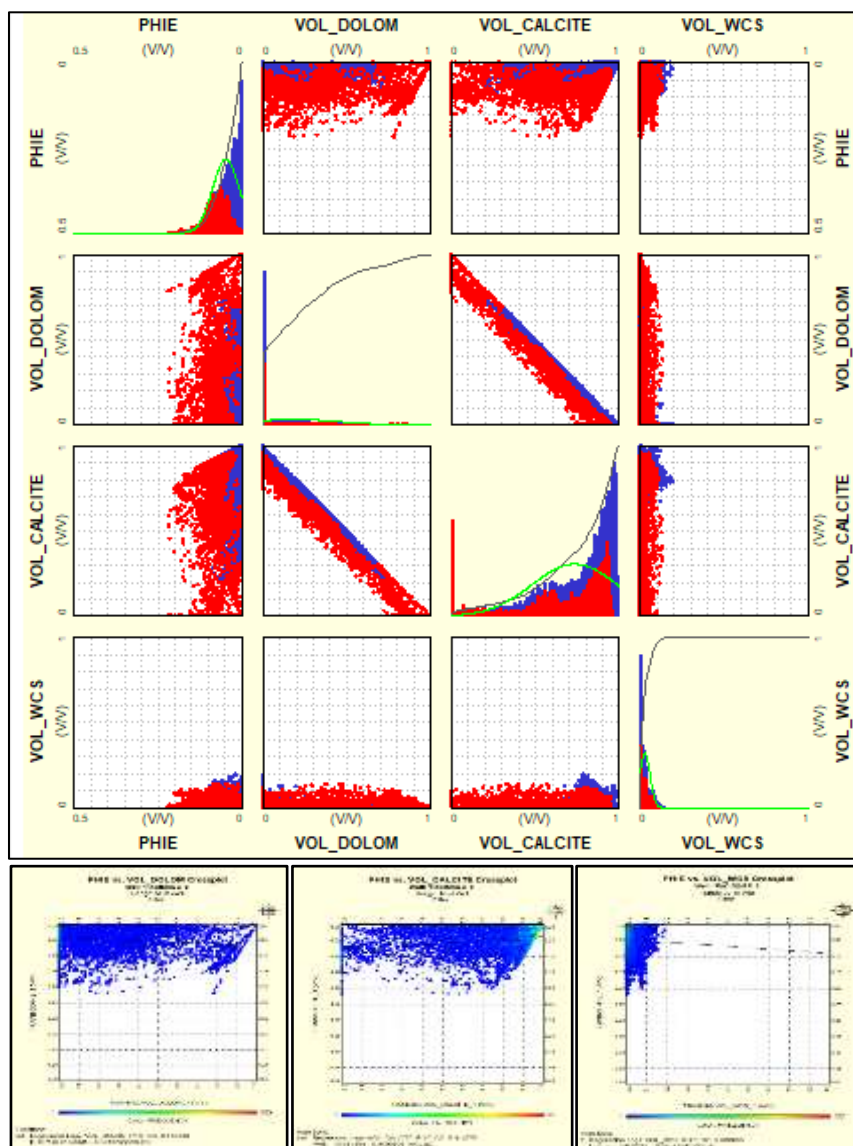
حجم کانی‌های دولومیت و کلسیت به عنوان داده‌های ورودی انتخاب گردید. در مرحله بعد، داده‌های ورودی پس از بررسی و مشاهده جداول متقطع مربوطه آموزش داده شدند (شکل ۳). پس از آموزش داده‌ها با استفاده از روش خوشبندی تفکیکی گرافیکی MRGC، تعداد خوشبندی‌های بهینه مشخص گردید. در این روش، حداقل تعداد رخساره‌ها بر اساس تعداد کانی‌های حاصل از تفسیر سنگ‌شناسی، دو رخساره (بخش‌های مخزنی و غیرمخزنی) و حداقل تعداد آن ۲۰ رخساره انتخاب گردید تا تعداد مناسب خوشبندی‌ها توسط نرمافزار پیشنهاد گردد. بر این اساس، از بین خوشبندی‌های پیشنهادی، خوشبندی با تعداد ۱۷ رخساره‌ای از بین خوشبندی‌های متعدد پیشنهادی انتخاب و پس از ادغام دسته‌های مشابه، دو رخساره خوب مخزنی (مشتمل بر سه رخساره) و رخساره ضعیف یا غیرمخزنی (مشتمل بر دو رخساره) از همدیگر تفکیک گردیدند (شکل ۴). رخساره‌های ۱ و ۲ غیرمخزنی می‌باشند. رخساره ۱ عمده‌ای از جنس آهکی بوده و از ادغام شش رخساره الکتریکی در خوشبندی ۱۷ تایی حاصل شده است. این رخساره به دلیل تخلخل کمتر از حد برش

## ۲- مواد و روش‌ها

در این مطالعه، به منظور مدل‌سازی رخساره‌ای از داده‌های سطوح عمقی تفسیر شده، داده‌های مکعب لرزه‌ای، نگاره‌ای پتروفیزیکی خام و تفسیر شده، داده‌های مربوط به ۲۰ چاه (مختصات سرچاهی، اعمق میز دور از سطح آزاد دریا، داده‌های انحراف مسیر چاه‌ها)، داده‌های پتروفیزیکی، اعماق سرسازندها و سرزون‌ها و غیره استفاده گردید. نخست، آنالیز رخساره الکتریکی با استفاده از روش خوشبندی MRGC به منظور تعیین بخش‌های مخزنی و غیرمخزنی در نرمافزار ژئولوگ انجام گردید. رخساره‌های حاصل جهت استفاده در مدل‌سازی رخساره‌ای وارد نرمافزار پترول گردید. در این نرمافزار با ساخت رخساره لرزه‌ای و استفاده از الگوریتم‌های متعدد در مدل‌سازی رخساره‌ای تلاش گردید اثر انتخاب نوع الگوریتم بر روی مدل‌سازی رخساره‌های الکتریکی مورد بررسی قرار گیرد. در این مطالعه، رخساره‌های الکتریکی مخزن سروک در میدان مورد مطالعه با استفاده از مازول Facimage نرمافزار ژئولوگ تعیین گردید. برای تعیین رخساره‌های الکتریکی داده‌های تفسیر شده شامل نگاره‌ای تخلخل، حجم شیل،

دولومیتی می‌باشد و با میانگین تخلخل (۰/۷٪) دارای کیفیت مخزنی نسبتاً خوبی است. رخساره ۵ عمدتاً آهکی بوده و با میانگین تخلخل (۰/۷٪) دارای کیفیت مخزنی نسبتاً خوبی است. در شکل ۵ هیستوگرام جعبه‌ای تغییرات تخلخل در هر رخساره (خوشبندی پنج رخساره‌ای و دو رخساره‌ای) و در شکل ۶ دو رخساره نهایی مخزنی و غیرمخزنی در یک پنجره چیدمانی<sup>۱</sup> در یکی از چاههای میدان به همراه داده‌های حجم کانی‌ها، و تخلخل نمایش داده شده است.

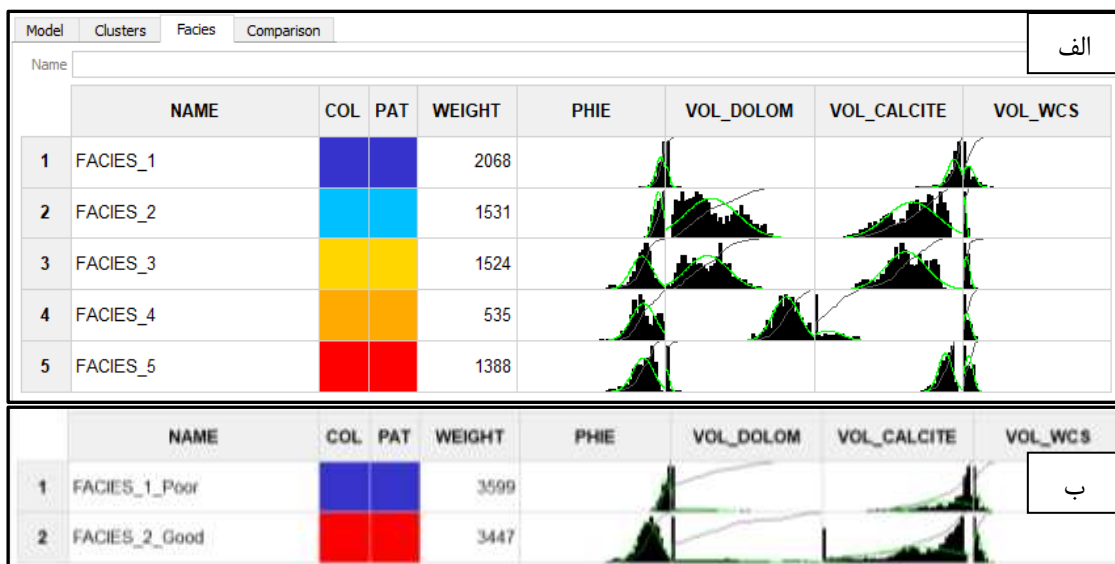
(حدود ۰/۲٪) رخساره غیرمخزنی محسوب می‌شود. رخساره ۲ از جنس آهک دولومیتی بوده و از ادغام سه رخساره در خوشبندی ۱۷ رخساره‌ای حاصل گردید. این رخساره با میانگین تخلخل ۰/۲٪ (کمتر از حد برش) فاقد کیفیت مخزنی می‌باشد و به دلیل داشتن دولومیت از رخساره ۱ قابل تفکیک می‌باشد. رخساره‌های ۳، ۴ و ۵ رخساره‌های مخزنی محسوب می‌شوند. رخساره ۳ از جنس آهک دولومیتی بوده و از ادغام چهار رخساره در خوشبندی ۱۷ رخساره‌ای حاصل گردیده است. این رخساره با میانگین تخلخل ۰/۸٪ کیفیت مخزنی بالایی دارد. رخساره ۴ عمدتاً



شکل ۳. نمودار متقارن ماتریسی داده‌های ورودی با تفکیک دو رخساره و همبستگی داده‌های ورودی با تخلخل مفید

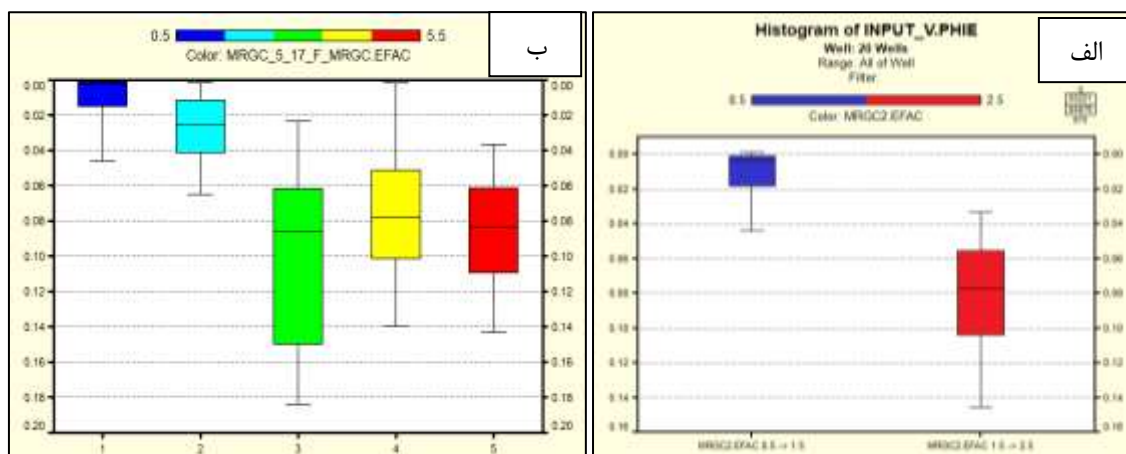
Fig. 3. Matrix plot showing the relationship between the input logs in different clusters and also between porosity and input logs

<sup>1</sup> Layout



شکل ۴. هیستوگرام داده‌های ورودی (تخلخل مفید)، حجم کانی‌های دولومیت و کلسیت و حجم شیل) در خوش‌بندی پنج رخساره‌ای (الف) و دو رخساره‌ای (ب) تلفیقی بصورت رخساره‌های مخزنی و غیر مخزنی با روش MRGC

Fig. 4. Histograms of input logs (effective porosity, and dolomite, calcite and shale volumes) in five facies clustering and two facies clustering (reservoir and non-reservoir facies) using MRGC method



شکل ۵. هیستوگرام جعبه‌ای تغییرات تخلخل در هر رخساره (خوش‌بندی دو رخساره‌ای (الف) و پنج رخساره‌ای (ب))

Fig. 5. Box plots of porosity in each facies (five facies and two facies clusters)

رخساره‌ای تبدیل شدند. بخش‌های با میانگین مقاومت صوتی بالا موید بخش‌های غیر مخزنی و بخش‌های با مقادیر کمتر موید رخساره‌های با کیفیت مخزنی بالاتر می‌باشد (شکل ۷).

**۲-۱- ساخت مدل ساختمانی**  
مدل‌سازی استاتیک مخزن شامل ایجاد مدل ساختمانی<sup>۲</sup> و مدل خواص مخزن<sup>۳</sup> و سپس انجام حجم‌سنجی و آنالیز عدم قطعیت و حساسیت‌سنجی می‌باشد. فرآیند مدل‌سازی ساختمانی شامل مراحلی از قبیل مدل‌سازی

## ۲-۱- ساخت نقشه‌های روندی

پس از ساخت رخساره‌های الکتریکی، با توجه به وجود داده مکعب لرزه‌ای مقاومت صوتی، برای هر دو بخش فوقانی و تحتانی سازند سروک نقشه میانگین تهیه گردید. ساخت این نقشه‌ها با استفاده از نرم‌افزار پتلر انجام گردید. در این نرم‌افزار، براساس ضخامت میانگین هر کدام از رخساره‌ها در تمام چاهها در هر دو بخش فوقانی و تحتانی سروک، نقشه مربوطه تهیه شد. از آنجا که این نقشه‌ها از جنس ضخامت بودند، نرمال (مابین صفر و یک) شدند پس از یکنواخت‌سازی<sup>۱</sup> به نقشه‌های روندی جهت مدل‌سازی

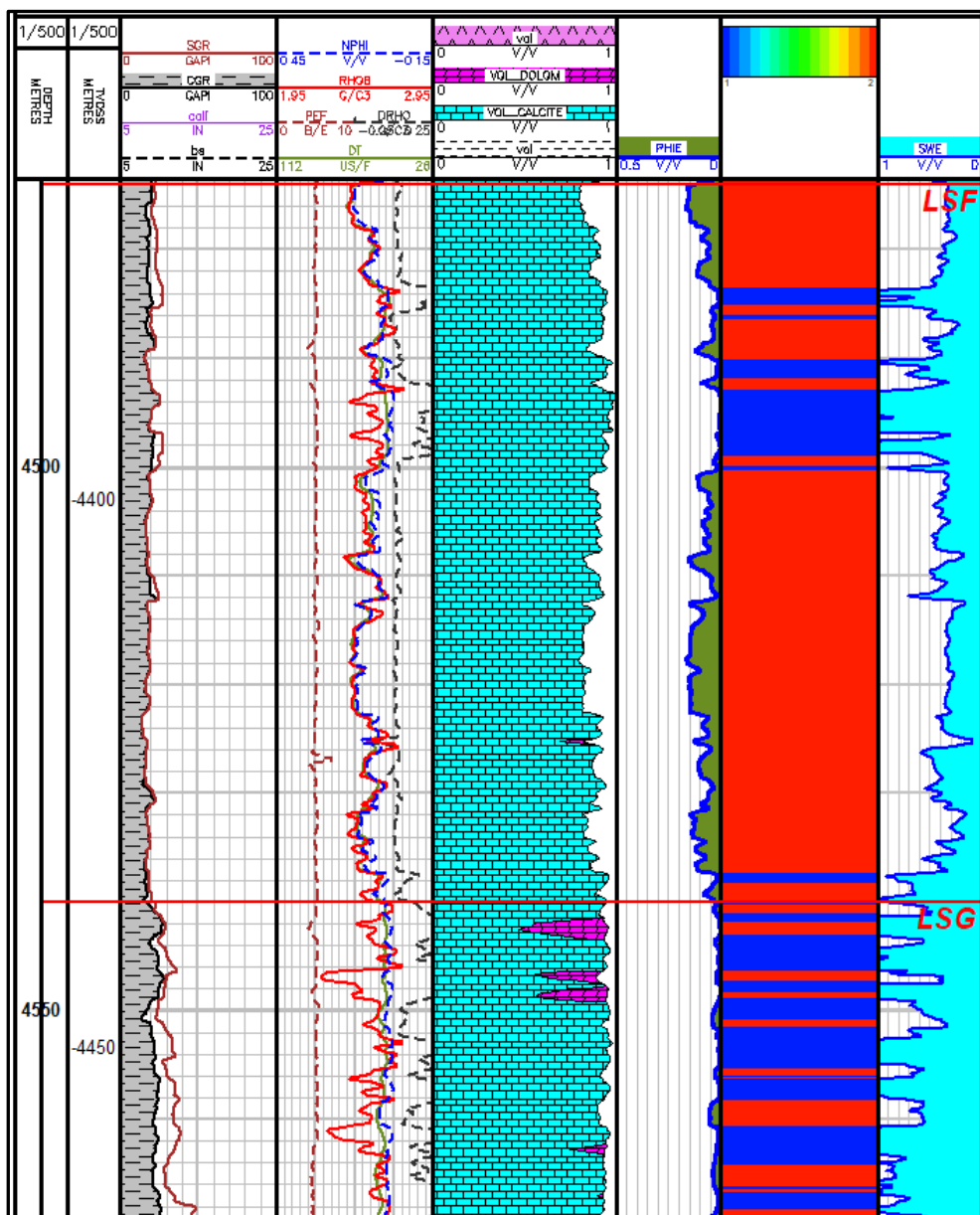
<sup>3</sup> property modeling

<sup>1</sup> Smooth

<sup>2</sup> Structural modeling

مقیاس شده در سه جهت اصلی، فرعی و عمودی از دیدگاه زمین‌آماری تحلیل و سپس واریوگرافی انجام گردید. واریوگرام، تغییرپذیری داده‌ها را با افزایش فاصله نشان می‌دهد که یک محور آن تغییرپذیری واریانس و محور دیگر فاصله می‌باشد. واریوگرام از مقداری مخالف صفر شروع شده و به اندازه دامنه تاثیر<sup>۸</sup> افزایش می‌یابد و در نهایت به مقدار ثابتی به نام سقف<sup>۹</sup> می‌رسد.

گسل‌ها، ساخت مدل گرید زمین‌شناسی سه‌بعدی<sup>۱۰</sup>، ساخت افق‌ها<sup>۱۱</sup>، ساخت زون‌ها<sup>۱۲</sup> و نهایتاً لایه‌بندی<sup>۱۳</sup> است (مهردادی‌پور و هاشمیان، ۱۳۹۳). مدل ساختمانی میدان مورد مطالعه با گریدبندی ۱۰۰\*۱۰۰ متر ساخته شد و سپس مدل‌سازی افق‌ها با استفاده از نقشه‌های سطوح عمقی انجام گرفت. پس از ساخت مدل ساختمانی، داده‌های رخساره الکتریکی به اندازه سلول‌های شبکه درشت مقیاس (میانگین‌گیری) شدند. داده‌های درشت



شکل ۶. نمایش رخساره الکتریکی مخزنی (رنگ قرمز) و غیر مخزنی (رنگ آبی) به همراه نگاره‌ای خام پتروفیزیکی، سنگ‌شناسی، تخلخل مفید و اشباع آب  
Fig. 6. Plot showing the layout of electrofacies (reservoir facies (red color), non-reservoir (blue color)), with raw petrophysical logs, lithology, porosity, and water saturation

<sup>۷</sup>Layering

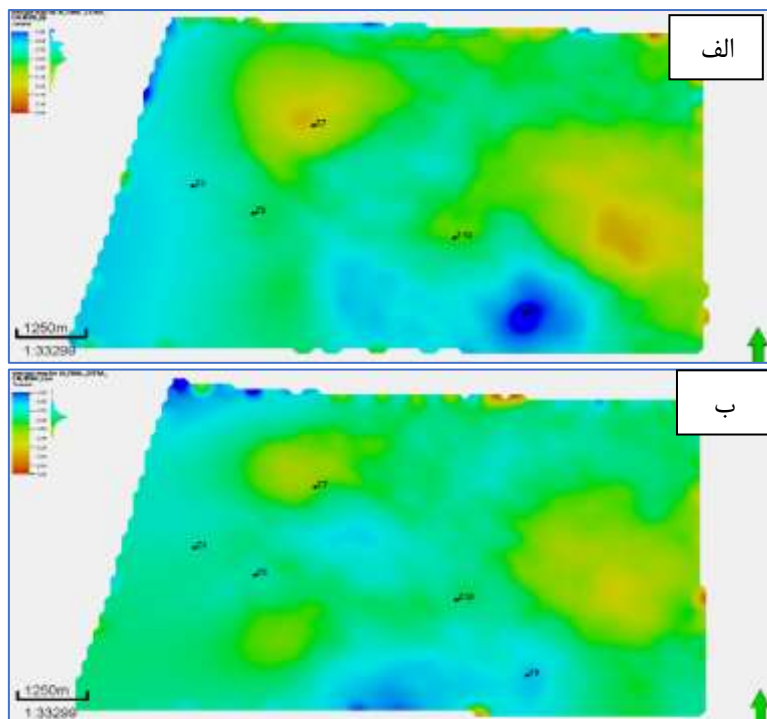
<sup>۸</sup>Range

<sup>۹</sup>Sill

<sup>۱۰</sup>Gridding

<sup>۱۱</sup>Make Horizon

<sup>۱۲</sup>Zonation



شکل ۷. نقشه های روندی ساخته شده براساس مکعب مقاومت صوتی برای سروک بالایی (الف) و سروک پایینی (ب)

مدل‌سازی رخساره‌ای محسوب می‌شوند. داده‌های رخساره‌ای پیش از مدل‌سازی بر حسب فراوانی رخساره درشت‌نمایی شده و سپس در بخش آنالیز داده‌ها، واریوگرافی می‌شوند (ردوان، ۲۰۲۲). گاهی در درشت‌نمایی سایر داده‌های مخزنی از داده‌های رخساره‌ای جهت کنترل میانگین‌گیری استفاده می‌گردد. در روش شیءگرا اشکال رخساره‌های رسوبی وارد مدل می‌گردد. این نوع رخساره‌ها عموماً به صورت نقشه وارد نرم‌افزار می‌گردند. استفاده از رخساره‌های شیءگرا برای توزیع ناهمگنی‌های بزرگ مقیاس<sup>۲</sup> و سدهای تراوایی<sup>۳</sup> مفید می‌باشد. در این مطالعه از روش‌های شبیه‌سازی تصادفی استفاده گردید. شایان ذکر است روش‌های شبیه‌سازی زیادی وجود دارد که می‌توان به شبیه‌سازی شاخص ترتیبی (SIS) و شبیه‌سازی گوسین منقطع (TGS) اشاره کرد که از واریوگرام برای مدل‌سازی استفاده می‌کند. به طور کلی، روش مرسوم جهت مدل‌سازی سه‌بعدی رخساره‌ای مخزن استفاده از روش شبیه‌سازی شاخص ترتیبی (SIS) می‌باشد.

روش شبیه‌سازی گوسین منقطع (TGS) برای مدل‌سازی داده‌های گسسته شبیه رخساره مورد استفاده قرار می‌گیرد.

د. این روش، ما استفاده از کجینگ شاخص<sup>۴</sup> یک تابع

### ٣- توزيع زمین آماری رخساره الکتریکی

مدل‌سازی رخساره‌ای یکی از اساسی‌ترین بخش‌های مدل‌سازی زمین‌شناسی جهت استفاده از عوامل زمین‌شناسی برای توزیع خواص مخزنی است که پس از ساخت مدل ساختمانی و پیش از مدل‌سازی خواص پتروفیزیکی انجام می‌گیرد (مهری‌پور و همکاران، ۱۴۰۱). در صورت عدم وجود مطالعات رخساره‌ای، مدل‌سازی استاتیک بدون استفاده از آن و صرفاً براساس روش‌های مرسوم زمین‌آمار ادامه پیدا می‌کند. مدل‌سازی رخساره‌ها با استفاده از روش‌های زمین‌آماری قطعی<sup>۱</sup> و تصادفی انجام می‌گیرد. در روش قطعی فقط یک خروجی از مدل‌سازی حاصل می‌گردد، ولی در روش توزیع تصادفی ممکن است بر حسب شرایط ددها تحقق ایجاد گردد که باعث می‌شود مدل واقعی تراز ناهمگنی مخزن ایجاد می‌کند. روش‌های تصادفی شاخص ترتیبی بر مبنای توزیع آماری از میانگین و انحراف معیار حاصل تخمین حاصل از روش کریجینگ می‌باشد. در مدل‌سازی رخساره‌ای، داده‌های سنگ‌شناسی، گونه‌های سنگی به همراه داده‌های رخساره‌ای (از قبیل داده‌های میکروفاسیس، رخساره‌های لرزه‌ای، رخساره‌های الکتریکی و یا راک‌تاپ) داده‌های گستته ورودی برای

<sup>3</sup> Barriers  
<sup>4</sup> Indicator kriging

<sup>1</sup> Deterministic  
<sup>2</sup> large scale heterogeneity

مورد تحلیل زمین‌آماری و آنالیز واریوگرافی قرار گرفت. برای ساخت مدل رخساره‌ای در این حالت از روش SIS که یک روش معمول می‌باشد، استفاده گردید (شکل ۸). به منظور بررسی اثر روندهای لرزه‌ای در توزیع رخساره‌ها، نقشه‌های روندی ساخته شده براساس داده‌های مقاومت صوتی مورد استفاده قرار گرفت. رخساره‌های با تخلخل خوب با مقدار مقاومت صوتی پایین و رخساره‌های ضعیف دارای تخلخل کمتر با مقاومت صوتی بالا تطابق دارند. بنابراین برای هر کدام از زون‌های مخزنی نقشه روندی براساس تغییرات مقاومت صوتی تهیه گردید. این روندها برای توزیع هر کدام از رخساره‌ها بصورت سه‌بعدی مورد استفاده قرار گرفت. همه کدهای رخساره‌ای بصورت جداگانه مورد آنالیز واریوگرافی قرار گرفت تا بتوان با آنالیز واریوگرافی تخلخل مربوطه امکان تبعیت توزیع تخلخل از رخساره‌های الکتریکی فراهم کرد. شایان ذکر است، استفاده از نقشه‌های روندی تغییرات مقاومت صوتی منجر به توزیع صحیح رخساره‌های الکتریکی و آن هم به نوبه خود منجر به توزیع بهتر تخلخل می‌گردد. به منظور سهولت مقایسه مدل‌سازی سه‌بعدی با استفاده از الگوریتم‌های مختلف، مدل رخساره‌ای بعدی با در نظر گرفتن دو رخساره کلی مخزنی و غیرمخزنی و در دو حالت استفاده از نقشه‌های روندی لرزه‌ای (شکل ۹) و بدون استفاده از آن‌ها (شکل ۱۰) ساخته شد. علی‌رغم وجود هیستوگرام مشابه در تحقیقات مختلف، از تعداد ۳۰ تحقق ساخته شده میانگین‌گیری انجام گرفت.

ب) مدل‌سازی رخساره‌ای با استفاده از الگوریتم TGS و استفاده از نقشه‌های روندی لرزه‌ای: در این حالت پس از درشت‌نمایی داده‌های رخساره‌ای و آنالیز واریوگرافی جهت مدل‌سازی رخساره‌ای از روش TGS استفاده گردید. این الگوریتم مستلزم استفاده از نقشه‌های روندی در کنار داده‌های نگار رخساره الکتریکی در محل چاه می‌باشد. برای هر زون از نقشه میانگین داده لرزه‌ای مقاومت صوتی که نرمال شده بود، استفاده گردید. در این روش تعداد ۳۰ تحقق ساخته شد و سپس از آن‌ها میانگین‌گیری انجام گرفت (شکل ۱۱).

ج) مدل‌سازی رخساره‌ای لرزه‌ای: در این روش، به منظور ساخت رخساره لرزه‌ای، رخساره‌های الکتریکی مخزنی و غیرمخزنی همراه با داده مکعب لرزه‌ای مقاومت صوتی با

چگالی تجمعی گسسته برای دسته‌های منفرد بدست می‌آید و بعد از ساخت تابع چگالی تجمعی از احتمالات، رخساره‌ها بطور تصادفی از تابع چگالی تجمعی انتخاب می‌گرددند (دویچ، ۲۰۰۲). اجزای اصلی روش مدل‌سازی متقطع TGS شامل نسبت رخساره‌ها و توزیع فضایی و روابط آن‌هاست. این روش رخساره‌های مرتب شده مجدداً سازمان‌دهی می‌شوند و سپس کدهای رخساره‌ای با آستانه گذاری یک تابع تصادفی زنگوله‌ای<sup>۵</sup> به دست می‌آیند. کل دامنه تغییرات GRF به فواصل مشخص تقسیم و هر فاصله (یا آستانه GRF) به گونه‌ای محاسبه می‌شود که با نسبت‌های کدهای رخساره‌ای مختلف مطابقت داشته باشد. در نهایت خصوصیات فضایی GRF مربوط به شاخص‌های رخساره‌ای با واریوگرام‌های تجربی توصیف می‌شوند (بیکر و رنالد، ۲۰۱۶). روش زمین‌آماری چند نقطه‌ای در شبیه‌سازی مخازن پیچیده نفتی کاربرد دارد. این تکنیک محاسبن الگوریتم‌های بر پایه واریوگرام، بر پایه شیء و بر پایه موضوع را دارد. این روش در سال ۱۹۹۳ توسط گواردیانو و سری واستاوا برای مدل‌سازی ناهمگنی‌های پیچیده زمین‌شناسی با قدرت تفکیک بالا در مخازن نفتی مطرح گردید. در روش زمین‌آماری چند نقطه‌ای، مخازن با استفاده از الگوهای استخراج شده از یک تصویر آموزشی و شرطی شده با داده‌های چاه، شبیه‌سازی می‌شوند (مریتوز و کارز، ۲۰۱۵). اساس این روش بر مبنای ابزاری به نام تصویر آموزشی است که نمایشی عددی از الگوها و ساختارهایی است که انتظار می‌رود در مخزن مورد نظر که باید شبیه‌سازی شود، وجود دارد.

### ۳- بحث

به منظور بررسی نقش الگوریتم‌های مختلف در ساخت مدل‌های رخساره‌ای چندین حالت مختلف برای توزیع رخساره‌ها در نظر گرفته شد که به شرح زیر می‌باشد.

### ۳-۱- توزیع رخساره‌ای

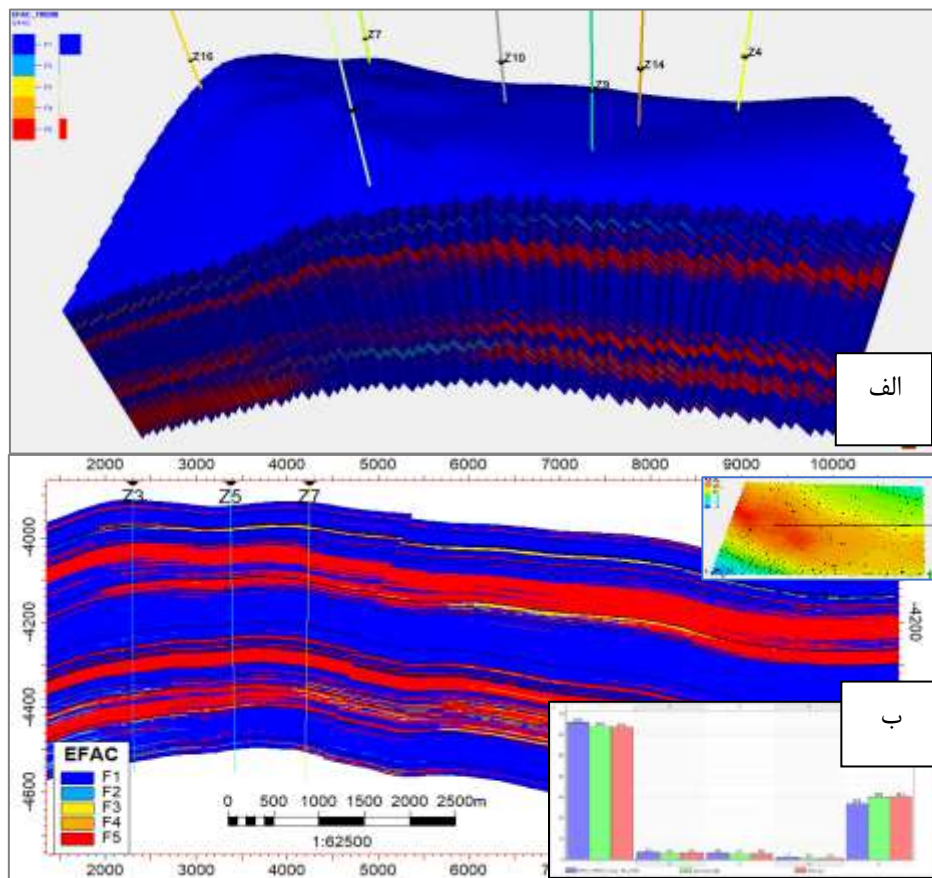
الف) مدل‌سازی رخساره‌ای با استفاده از الگوریتم SIS: در این حالت، پس از ساخت مدل ساختمانی، نخست داده‌های رخساره الکتریکی پنج رخساره‌ای نخست با روش حداقل تعداد تکرار شدگی<sup>۶</sup>، درشت‌نمایی گردید و سپس

<sup>6</sup> Most of

<sup>5</sup> Gaussian random function

استفاده از شبکه عصبی نرم‌افزار پترل انجام گرفت، تلاش گردید از نشان‌گری استفاده شود که با هم‌دیگر همبستگی کمتر و با رخساره سنگی (رخساره مخزنی و غیرمخزنی) در محل چاه‌ها ارتباط بالای داشته باشد. از این‌رو داده مکعب مقاومت صوتی جهت ساخت رخساره لرزه‌ای با نظارت نگار رخساره الکتریکی دو خوش‌های (رخساره مخزنی و غیرمخزنی) مورد استفاده قرار گرفت.

استفاده از نرم‌افزار پترل و بهره‌گیری از شبکه عصبی آن مورد استفاده قرار گرفت (شکل ۱۲). در ساخت رخساره لرزه‌ای، اعم از زمانی یا عمقی با استفاده از یک یا چند نشان‌گر لرزه‌ای می‌توان نمونه‌های ردلرزه‌ها در گروه‌های مشابه طبقه‌بندی کرد. در نتیجه این طبقه‌بندی رخساره‌های لرزه‌ای و تغییرات جانبی رخساره‌ها در بازتاب‌ها آشکار می‌شوند. در ساخت رخساره لرزه‌ای که با

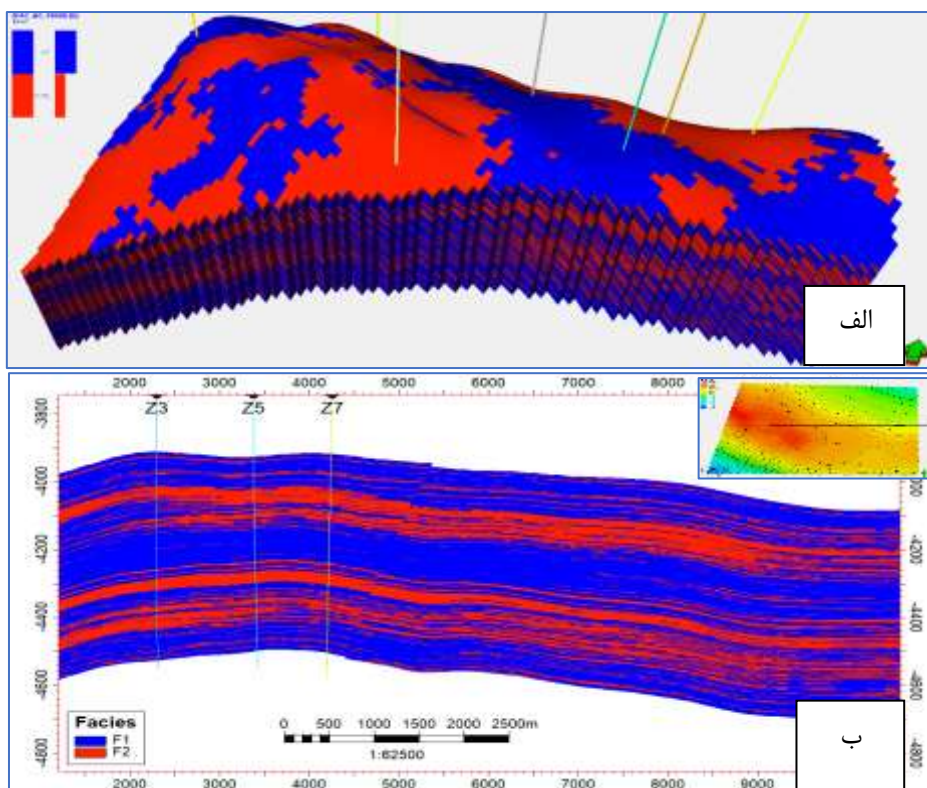


شکل ۸. نمایش مدل رخساره‌ای ساخته شده از رخساره الکتریکی (بنج رخساره‌ای) با استفاده از روش SIS و استفاده از روندهای لرزه‌ای به صورت سه‌بعدی (الف) و مقطع عرضی برپی در جهت شرق و غرب میدان (ب)

Fig. 8. 3D view of electrofacies model (five facies) using SIS algorithm and seismic trend maps (A), cross section in east-west direction of the field (B)

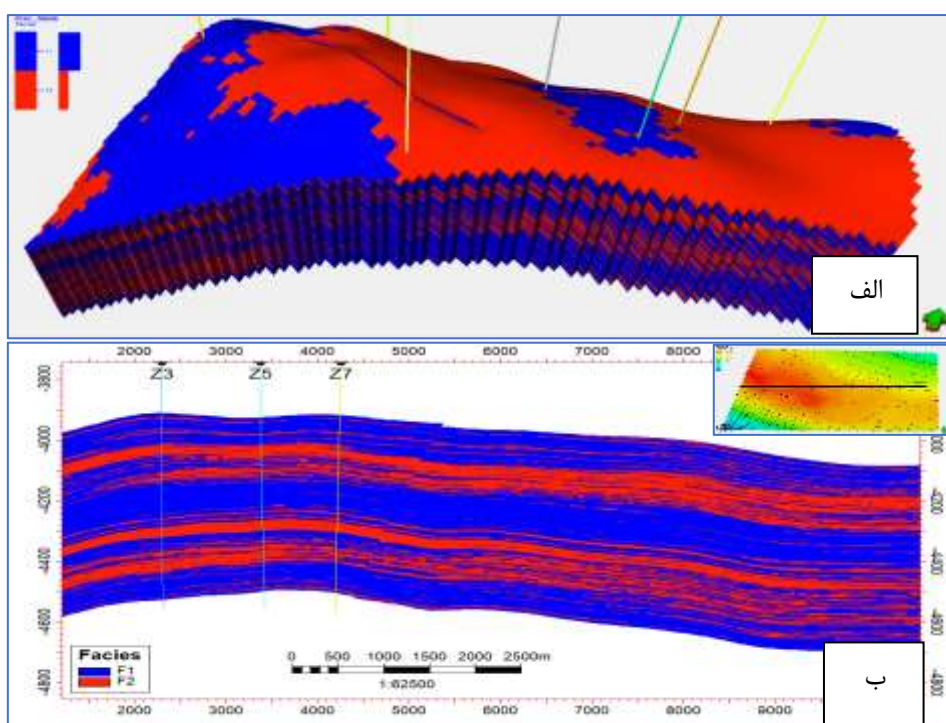
الگوهای فضایی با هندسه پیچیده را از طریق به کارگیری تصویر آموزشی توزیع کند. تصویر آموزشی، شامل الگوهای کلی است که توسط زمین‌شناسان به عنوان الگوهای مفهومی موجود زیر سطحی از طریق روش‌های بر پایه شیء به دست می‌آید. از آنجا که در مخزن کربناته سروک در میدان مورد مطالعه، تشخیص ساختارهای کربناته با استفاده از مطالعه لرزه‌ای امکان‌پذیر نبود، از مدل رخساره لرزه‌ای به عنوان تصویر آموزشی استفاده گردید.

د) مدل‌سازی رخساره‌ای با استفاده از الگوریتم شبیه‌سازی چند نقطه‌ای (MPS) و استفاده از رخساره لرزه‌ای به عنوان تصویر آموزشی: در این حالت از مدل رخساره لرزه‌ای ساخته شده به عنوان مدل تصویری الگو جهت مدل‌سازی رخساره‌ای با روش MPS استفاده گردید (شکل ۱۳). لازم به ذکر است روش‌های مبتنی بر MPS مستلزم داشتن الگوی تصویر آموزشی می‌باشند. این روش با لحاظ کردن الگوریتم‌های چند نقطه‌ای به جای الگوریتم‌های دو نقطه‌ای مرسوم در واریوگرام، می‌تواند



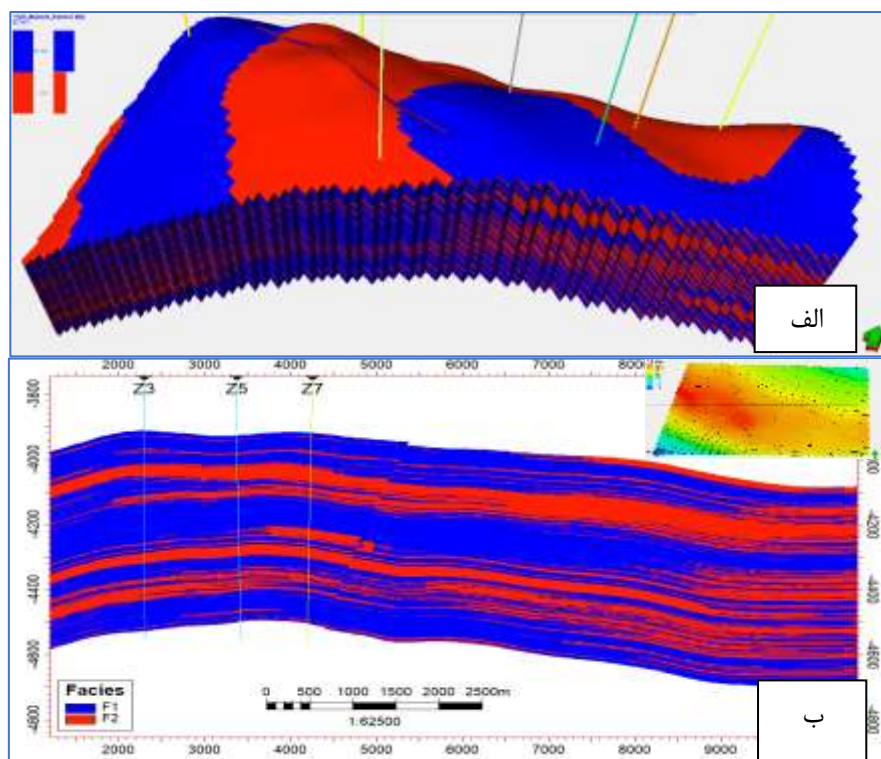
شکل ۹. نمایش مدل رخساره‌ای ساخته شده از رخساره الکتریکی F1 (رخساره غیرمخزنی) و F2 (رخساره مخزنی) با استفاده از روش SIS و بدون استفاده از روندهای لرزه‌ای به صورت سه‌بعدی (الف) و مقطع عرضی برشی در جهت شرق و غرب میدان (ب)

Fig. 9. 3D view of electrofacies model (F1: non-reservoir facies and F2: reservoir facies) using SIS algorithm without considering the seismic trend maps (A), cross section in east-west direction of the field (B)



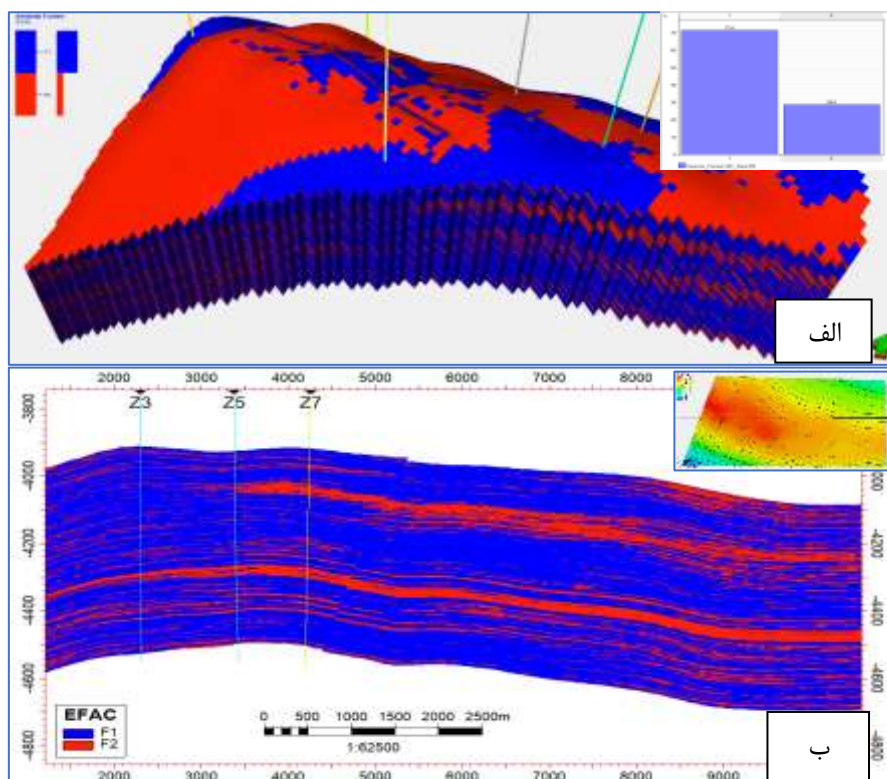
شکل ۱۰. نمایش مدل رخساره‌ای ساخته شده از رخساره الکتریکی F1 (رخساره غیرمخزنی) و F2 (رخساره مخزنی) با استفاده از روش SIS و نقشه‌های روندهای لرزه‌ای به صورت سه‌بعدی و مقطع عرضی برشی در جهت شرق و غرب میدان

Fig. 10. 3D view of electrofacies model (F1: non-reservoir facies and F2: reservoir facies) using SIS algorithm and seismic trend maps (A), cross section in east-west direction of the field (B)



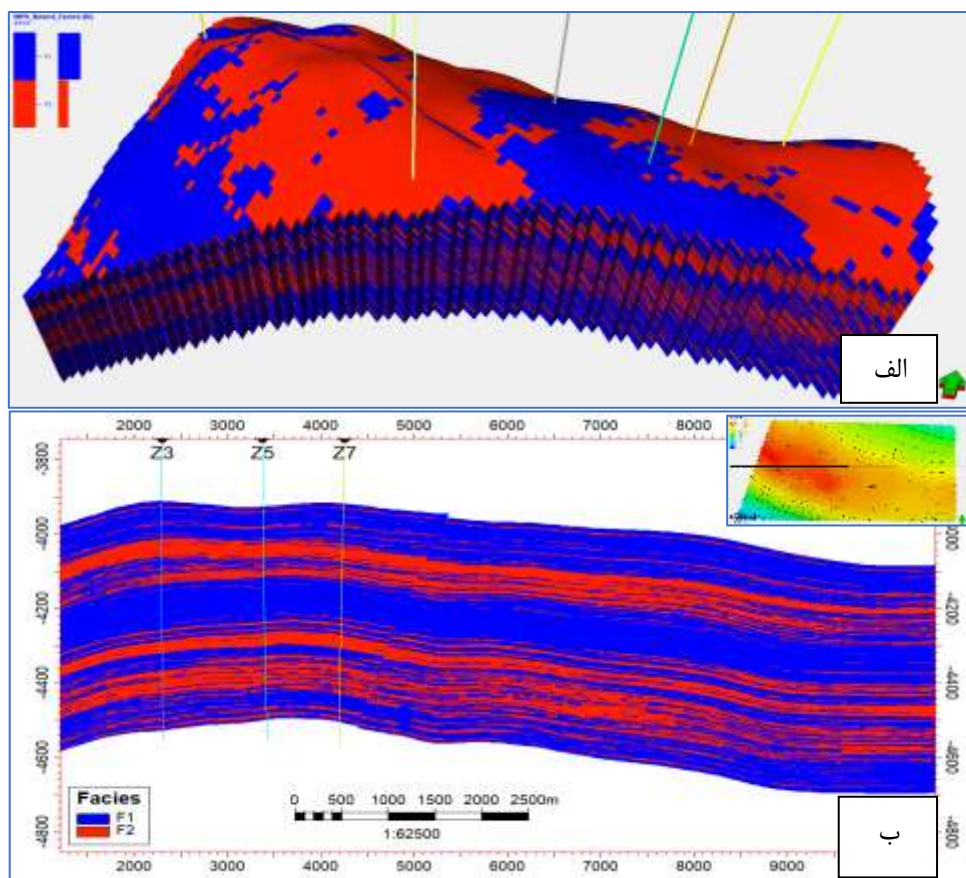
شکل ۱۱. نمایش مدل رخسارهای ساخته شده از رخساره الکتریکی F1 (رخساره غیرمخزنی) و F2 (رخساره مخزنی) با استفاده از روش TGS و نقشه‌های روندهای لرزه‌ای به صورت سه‌بعدی (الف) و مقطع عرضی برشی در جهت شرق و غرب میدان (ب)

Fig. 11. 3D view of electrofacies model (F1: non-reservoir facies and F2: reservoir facies) using TGS algorithm and seismic trend maps (A), cross section in east-west direction of the field (B)



شکل ۱۲. نمایش مدل رخساره لرزه‌ای ساخته شده با استفاده از داده نگار رخساره الکتریکی F1 (رخساره غیرمخزنی) و F2 (رخساره مخزنی) و مقاومت صوتی و نقشه‌های روندهای لرزه‌ای به صورت سه‌بعدی (الف) و مقطع عرضی برشی در جهت شرق و غرب میدان (ب)

Fig. 12. 3D view of seismic facies model (F1: non-reservoir facies and F2: reservoir facies) using electrofacies, acoustic impedance and seismic trend maps (A), cross section in east-west direction of the field (B)



شکل ۱۳. نمایش مدل رخسارهای ساخته شده با استفاده از روش MPS و داده نگار رخساره الکتریکی (F1: رخساره غیرمخزنی و F2: رخساره مخزنی) و مقاومت صوتی به صورت سه بعدی (الف) و مقطع عرضی برشی در جهت شرق و غرب میدان (ب)

Fig. 13. 3D view of facies model (F1: non-reservoir facies and F2: reservoir facies) using MPS algorithm, and acoustic impedance (A), cross section in east-west direction of the field (B)

تخلخل محاسبه شده با میانگین تخلخل داده‌های اولیه مورد مقایسه قرار گرفت. هر روشی که میزان اختلاف کمتری داشته باشد روش مناسب می‌تواند باشد. روش TGS کمترین اختلاف مابین داده‌های اصلی و داده‌های مدل شده و روش SIS (بدون استفاده از نقشه‌های روندی لرزه‌ای) بیشترین مقدار اختلاف را دارد. روش استفاده از رخساره لرزه‌ای در توزیع تخلخل به دلیل ارتباط بالای داده‌های مقاومت صوتی با تغییرات تخلخل بیشترین همبستگی را در محل چاه کور و رخساره ساخته شده بر پایه MPS کمترین همبستگی را دارد (جدول ۱ و شکل ۱۴). لازم به ذکر است روش SIS علاوه بر توزیع بهتر دارای هیستوگرام مشابهی مابین داده‌های اولیه و داده‌های تخمینی می‌باشد. با این حال همان‌طوری که در جدول ۱ مشهود است، استفاده از نقشه‌های روندی تهیه شده براساس داده‌های لرزه‌ای باعث افزایش دقت مدل‌های رخساره‌ای می‌شود.

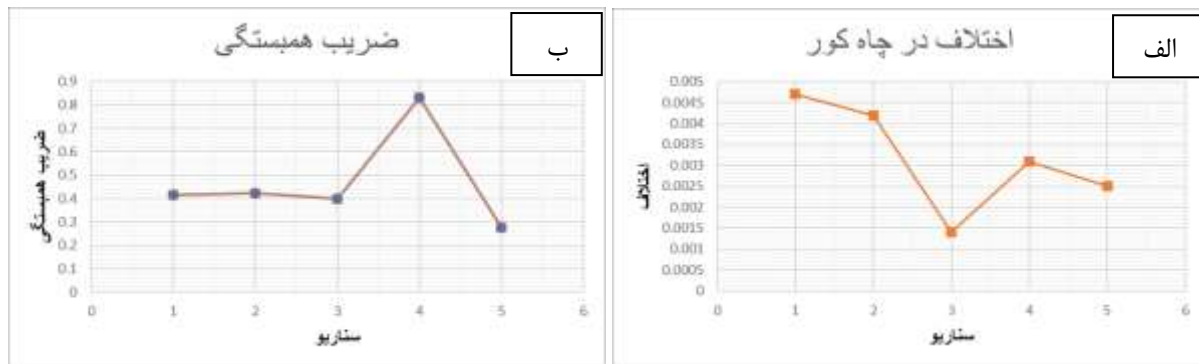
### ۲-۳- مقایسه مدل‌های رخساره‌ای

به منظور بررسی میزان تاثیر الگوریتم به کار گرفته شده در مدل‌سازی رخساره‌ای بر روی مدل تخلخل، پس از ساخت پنج نوع مدل رخساره‌ای، از آن‌ها در توزیع تخلخل استفاده گردید. ارتباط رخساره‌های لرزه‌ای و الکتریکی به تخلخل با استفاده از آنالیز واریوگرافی صورت گرفت. جهت مقایسه نتایج حاصل از مدل‌سازی تخلخل با اتصال به انواع مختلف مدل‌های رخساره‌ای از دو روش مختلف استفاده گردید. در روش اول یکی از چاه‌های میدان به عنوان چاه تست کور در نظر گرفته شد. به طوریکه در مدل‌سازی تخلخل کنار گذاشته شد. سپس مدل تخلخل بدون استفاده از این چاه ساخته شد. پس از اتمام ساخت مدل‌های تخلخل مختلف که به انواع رخساره‌ها مرتبط شده بودند از تخلخل توزیع شده در محل این چاه نگار تخلخل مصنوعی ساخته شد و با داده تخلخل واقعی مورد مقایسه قرار گرفت. در روش دوم پس از اتمام ساخت انواع مدل‌های تخلخل مرتبط شده به انواع رخساره‌ها میانگین مدل

جدول ۱. مقادیر همبستگی تخلخل در محل چاه کور و اختلاف مقادیر تخلخل تخمینی با استفاده از الگوریتم‌های مختلف

Table 1 Correlation coefficient and difference between petrophysical porosity and simulated porosity using various algorithms in blind test well

شماره	حالت	نگار و داده‌های مدل	اختلاف مابین داده‌های نگار و داده‌های مدل	ضریب همبستگی
۱	شبیه‌سازی شاخص ترتیبی (SIS) رخساره‌های الکتریکی بدون استفاده از نقشه‌های روندی	۰/۰۰۴۷	۰/۰۱۵	
۲	شبیه‌سازی شاخص ترتیبی (SIS) الکتریکی با استفاده از نقشه‌های روندی	۰/۰۰۴۲	۰/۰۴۲۳	
۳	شبیه‌سازی گوسین منقطع (TGS)	۰/۰۰۱۴	۰/۰۴	
۴	استفاده از رخساره لرزه‌ای	۰/۰۰۳۱	۰/۰۸۳	
۵	شبیه‌سازی چند نقطه‌ای (MPS)	۰/۰۰۲۵	۰/۰۲۷۶	



شکل ۱۴. اختلاف مقادیر تخلخل نگار پتروفیزیکی با تخلخل تخمینی (الف) و مقادیر همبستگی تخلخل در محل چاه کور (ب) با استفاده از الگوریتم‌های مختلف (حالت ۱: استفاده از روش SIS بدون در نظر گرفتن نقشه روندی، حالت ۲: استفاده از روش SIS با در نظر گرفتن نقشه روندی، حالت ۳: استفاده از روش TGS، حالت ۴: استفاده از رخساره لرزه‌ای و حالت ۵: استفاده از روش MPS)

Fig. 14. Correlation coefficient and difference between petrophysical log porosity and simulated porosity using various algorithms (scenario-1: using SIS algorithm without applying trend maps, scenario 2: using SIS algorithm and applying trend maps, scenario 3: using TGS algorithm, scenario 4: using seismic facies method and scenario 5: using MPS algorithm

#### ۵- تشرک و قدردانی

بدینوسیله از شرکت مهندسی و توسعه سروک آذر و سرکار خانم دکتر زهرا صادق طبقی به دلیل همکاری در تهیه این مقاله تقدیر و قدردانی می‌شود.

#### References

- Afshar Harb, A (2003) Petroleum Geology Books. Publications PNU, Iran. (In Persian).
- Aghanabati, A (2006) Geology of Iran. Geological Survey of Iran, Tehran, 586. (In Persian).
- Beucher, H., Renard, D (2016) Truncated Gaussian and derived methods. Comptes Rendus Geoscience, 348 (7), 510-519. doi.org/10.1016/j.crte.2015.10.004.
- Casini, G., Gillespie, P. A., Verges, A., Romaire, I., Fernandez, N., Casciello, E., Saura, E., Mehl, C., Homke, S., Embry, J. C., Aghajari, L., And Hunt, D. W (2011) Sub-seismic fractures in foreland fold and thrust belts: insight from the Lurestan Province, Zagros Mountains, Iran.

#### ۴- نتیجه‌گیری

براساس این مطالعه توزیع داده‌های رخساره الکتریکی بدون استفاده از داده‌های لرزه‌ای باعث افزایش عدم قطعیت می‌شود. بنابراین، استفاده از نقشه‌های روندی تهیه شده براساس داده‌های لرزه‌ای باعث افزایش دقت مدل‌های رخساره‌ای می‌شود. روش TGS کمترین اختلاف مابین داده‌های اصلی و داده‌های مدل شده تخلخل و روش SIS (بدون استفاده از نقشه‌های روندی لرزه‌ای) بیشترین مقدار اختلاف را دارد. روش استفاده از رخساره لرزه‌ای در توزیع تخلخل به دلیل ارتباط بالای داده‌های مقاومت صوتی با تغییرات تخلخل بیشترین همبستگی را در محل چاه کور دارد. رخساره ساخته شده بر پایه MPS کمترین همبستگی را در محل چاه کور دارد.

- and Exhibition, Dallas, Texas, 117-131. doi.org/10.2118/9270-PA
- Sfidari, E., Kadkhodaie-IIkhchi, A., & Najjari, S (2012) Comparison of intelligent and statistical clustering approaches to predicting total organic carbon using intelligent systems. *Journal of Petroleum Science and Engineering*, 86: 190-205. doi.org/10.1016/j.petrol.2012.03.024.
- Sharland, P. R., Archer, R., Casey, D. M., Davies, R. B., Hall, S. H., Heward, A. P., Simmons, M. D (2001) Sequence stratigraphy of the Arabian Plate. *GeoArabia*, 2: 371. doi.org/10.2113/geoarabia0901199.
- Petroleum Geoscience. 17: 263-282. doi.org/10.1144/1354-079310-043.
- Deutsch, C. V (2002) *Geostatistical Reservoir Modeling*, Oxford University Press, 337 p.
- Evans Annan, B., Aidoo, A., Ejeh, C., Emmanuel, A., & Ocran, D (2019) Mapping of porosity, permeability and thickness distribution: application of geostatistical modeling for the jubilee oilfield in Ghana. *Geosciences*, 9(2): 27-49. doi.org/10.5923/j.geo.20190902.01.
- GhojehBeyglou, M (2021) Geostatistical modeling of porosity and evaluating the local and global distribution. *Journal of Petroleum Exploration and Production Technology*, 11(12): 4227-4241. doi.org/10.1007/s13202-021-01308-w.
- Hosseini, K., Rezaee, P., & Kazem Shiroodi, S (2020) Analysis of the electrofacies, flow units and assessment of the reservoir potential of the Mishrif Formation (Cenomanian-Turonian) in the Esfand oil field, Persian Gulf. *Applied Sedimentology*, 8(15): 46-64. (in Persian). doi.org/10.22084/psj.2020.19710.1214.
- Kadkhodaie-IIkhchi, R. and Kadkhodaie, A. and Rezaee, M. R. and Mehdipour, V (2019) Unraveling the reservoir heterogeneity of the tight gas sandstones using the porosity conditioned facies modeling in the Whicher Range field, Perth Basin, Western Australia. *Journal of Petroleum Science and Engineering*. 176: 97-115. doi.org/10.1016/j.petrol.2019.01.020.
- Mariethoz, G., Caers, J (2015) *Multiplepoint geostatistics*, John Wiley & Sons, Ltd, USA.
- Mehdipour, V., Hashemiyan, K (2014) Comparison of static reservoir modeling using PETREL versus IRAP\_RMS, NIOC Publication (Ekteshaf & Tolid), 121: 42-38. (in Persian).
- Mehdipour, V., Rabbani, A., Kadkhodaie, A (2022) Porosity Modeling Using Simultaneously Seismic Attribute and Electrofacies Data in Sarvak Reservoir of an Iranian Oil Field. *Journal of Petroleum Research*, 32: 113-128. (in Persian).
- Motiee, H (1993) Zagros Stratigraphy. Iranian Geological Survey, Tehran, Iran. 536 p. (in Persian).
- Pyrcz, M., Deutsch, C (2014) *Geostatistical reservoir modeling*. Oxford University Press.
- Radwan, A. E (2022) Three-dimensional gas property geological modeling and simulation. In *Sustainable Geoscience for Natural Gas Subsurface Systems* (pp. 29-49). Gulf Professional Publishing. doi.org/10.1016/B978-0-323-85465-8.00011-X
- Selley, R. C (1994) *Ancient Sedimentary Environment*. 4ed., Chapman & Hall, London, 300 P.
- Serra, O. & Abbot, H (1982) The contribution of logging data to sedimentology and stratigraphy. SPE. 55th Annual Fall Technical Conference

## Validation of applying stochastic geostatistical algorithms in electrofacies modeling in Sarvak reservoir of an Iranian oilfield

V. Mehdipour<sup>1</sup>, A. R. Rabbani<sup>\*2</sup>, A. Kadkhodaei<sup>3</sup>, H. karkooti<sup>4</sup> and M. Shourab<sup>5</sup>

- 1- Ph. D. student of Petroleum exploration engineering, Dept., of Petroleum Engineering, Amirkabir University of technology, Tehran, Iran  
 2- Prof., Dept., of Petroleum exploration engineering, Dept., of Petroleum Engineering, Amirkabir University of technology, Tehran, Iran  
 3- Assoc. Prof., Dept., of Geology, Faculty of science, University of Tabriz, Tabriz, Iran  
 4, 5- Sarvak Azar Engineering and Development Company (SAED), Tehran, Iran

\* rabbani@aut.ac.ir

Received: 2022.10.30 Accepted: 2023.5.26

### Abstract

Constructing different facies models is necessary in reservoir static modeling to consider the effect of geology and sedimentology and also control the geostatistical distribution of petrophysical properties. In this study, electrofacies analysis has been done using MRGC (Multi-resolution graph-based clustering) method to be used in static modeling. Then, the resulting facies were modeled and compared together by applying different geostatistical stochastic algorithms in Petrel software. Based on electrofacies analysis, first five electrofacies (including two non-reservoir facies and three reservoir facies) were identified. In order to compare the effect of different facies distribution algorithms, three reservoir facies and two non-reservoir facies were combined and then two resulted facies were distributed as reservoir and non-reservoir facies in facies modeling. Seismic data was also applied for seismic facies construction and also to construct trend maps for appropriate facies distribution. In order to investigate the effect of five applied different geostatistical algorithms used in facies modeling on porosity distribution, the constructed facies models were used for porosity modeling. According to this study, the uncertainty of electrofacies modeling without applying seismic data increases which in turn reduces the accuracy of porosity models. In addition, electrofacies modeling via considering the sequential indicator simulation (SIS) algorithm and applying the seismic trend maps, enhance the accuracy of the porosity model. Moreover, this study showed, construction the seismic facies is the best method for facies modeling to be used for porosity modeling due to the high correlation coefficient between acoustic impedance and porosity.

**Keywords:** Sarvak reservoir, Static model, Seismic facies, Porosity, MRGC

### Introduction

Facies modeling is an important stage of property modeling that uses the different types of facies for porosity distribution. In this study, seismic data and electrofacies analysis have been used for facies modeling, and then, used for porosity distribution. Different facies modeling scenarios were applied to consider the effect of geology and sedimentology in porosity propagation and also to control the geostatistical distribution of petrophysical properties in reservoir static modeling. Applying the facies model in reservoir modeling has been investigated by different researchers. Electrofacies which introduced by Serra and Abbott, can usually be assigned to one or more lithofacies as log responses are

measurements of the physical properties of rocks. It can be used for porosity distribution while constructing the static model.

### Geological settings

The studied oil field is located in the northern part of Dezful Embayment (a subdivision of the Zagros). Sarvak Formation is the main reservoir of this field which is considered a member of the Bangestan Group.

### Methods

In this study, Geolog software (Facimage module) has been used for electrofacies analysis and Petrel software has been used for providing seismic attributes and also for porosity propagation across the field.

### Discussion

Different algorithms such as MRGC, AHC and SOM are used for electrofacies analysis. Two electrofacies have been determined using MRGC method as poor and good facies. Some result logs such as effective porosity, dolomite, calcite, and shale volumes were selected as input data for electrofacies analysis. In the next step, after constructing the structural model, electrofacies and porosity logs have been scaled up. Then, data analysis were done to be used for geostatistical distribution. We tried to make five different facies models via using the SIS algorithm (with and without trend), TGS algorithm, MPS, and generating the seismic facies. According to this study, the uncertainty of electrofacies modeling without applying seismic data increases which in turn reduces the accuracy of porosity models. In addition, electrofacies modeling via considering the sequential indicator simulation (SIS) algorithm and applying the seismic trend maps, enhance the accuracy of the porosity model. Moreover, construction the of seismic facies is considered the best method for facies modeling to be used

for porosity modeling due to the high correlation coefficient between acoustic impedance and porosity.

### Conclusion

Applying the TGS algorithm causes the lowest difference between the petrophysical logs and simulated data while applying the SIS facies model (without trend maps) has the highest difference. The correlation coefficient between the porosity model (using the seismic facies) and real data in the blind test well is the highest while the porosity model (using the MPS facies) has the lowest. Construction the seismic facies is considered as the best method for facies modeling to be used for porosity modeling due to the high correlation coefficient between acoustic impedance and porosity.

### Acknowledgment

We are thankful to SAED Company and also to Dr. Zahra Sadeghtabaghi for cooperation in this study.